

## بررسی انواع مدل‌های آبشویی در دو منطقه جنوب شرق استان خوزستان

### Evaluation of Different Types of Leaching Models in Two Pilots of South East Khoozestan Province

کامران محسنی فر<sup>۱</sup>، ابراهیم پذیرا<sup>۲</sup>، پیام نجفی<sup>۳</sup>

۱- فارغ التحصیل کارشناسی ارشد، رشته خاکشناسی و اخذ علوم و تحقیقات تهران، دانشگاه آزاد اسلامی.

پست الکترونیک Kamran1m@yahoo.com

۲- استاد گروه خاکشناسی واحد علوم و تحقیقات تهران، دانشگاه آزاد اسلامی.

۳- استادیار دانشکده کشاورزی دانشگاه آزاد اسلامی واحد خوراسگان.

#### چکیده

مناطق خشک، چون بیشتر نواحی ایران که دارای بارندگی کم و تبخیر زیاد می‌باشند، تجمع املاح در سطح خاک، امری اجتناب ناپذیر خواهد بود. بنابراین اعمال یک روش عملی جهت برآورد آب مورد نیاز به منظور اصلاح خاک برای کشاورزی امری ضروری است. هدف از این تحقیق، رسم منحنی‌های شوری و سدیم‌زدایی در ۲ منطقه واقع در جنوب شرق استان خوزستان و اثر ماده اصلاح کننده سدیم بر شستشوی املاح و سدیم می‌باشد. همچنین ارائه فرمول تجربی مناسب جهت استفاده در برآورد آب مورد نیاز برای اصلاح مناطق مورد نظر از دیگر اهداف طرح بوده است. آزمایش در دو منطقه ۱ و ۲ با چهار تیمار شامل، تیمار اول ۲۵ سانتی‌متر، تیمار دوم ۵۰ سانتی‌متر، تیمار سوم ۷۵ سانتی‌متر و تیمار چهارم ۱۰۰ سانتی‌متر آب و سه تکرار تا عمق ۱۰۰ سانتی‌متر در کرت‌های  $1 \times 1$  متر انجام گرفت. در منطقه ۲ علاوه بر آب آبشویی از اسید سولفوریک به مقدار ۵ تن در هکتار به عنوان ماده اصلاح کننده استفاده شد. با استفاده از داده‌های اویله و نهایی شوری و سدیم در مقایسه با عمق خالص آب آبیاری به عمق خاک، یازده مدل تجربی مورد مقایسه قرار گرفت. نتایج نشان می‌داد که در منطقه ۱، مدل تجربی معکوس برای هدایت الکتریکی و سدیم به ترتیب با ضریب همبستگی  $85\%$  و  $83\%$  به عنوان بهترین مدل بدست آمد. در منطقه ۲ بدون اضافه کردن اسید، مدل درجه سوم به عنوان مدل آبشویی هدایت الکتریکی و سدیم به ترتیب با ضرایب همبستگی  $94\%$  و  $80\%$  مناسب است. برای منطقه دوم همراه با اضافه کردن اسید در مورد هدایت الکتریکی مدل‌های نمایی، رشد،

لجستیک، مرکب و معکوس با ضریب همبستگی ۷۶٪ و برای درصد سدیم تبادلی مدل درجه سوم با ضریب همبستگی ۸۸٪ بدست آمد.

**کلمات کلیدی:** آبشوئی، شوری زدایی، سدیم زدایی، مواد اصلاح کننده، خوزستان

#### مقدمه

شور شدن خاک فرآیندی است که طی آن تجمع املاح محلول در قشر سطحی خاک به حدی رسیده است که در اثر آن لایه سطحی پتانسیل خود را به عنوان محل رشد و نمو گیاه از دست می‌دهد (بایبوردی و کوهستان، ۱۳۶۰). به هر حال کشاورزی به عنوان محور توسعه پایدار در کشور، آب به عنوان یک عامل محدود کننده محسوب می‌شود و با توجه به تبخیر زیاد از سطح تجمع املاح، شور شدن خاک‌های ایران یک امر طبیعی و دور از انتظار نمی‌باشد. در سال ۱۳۴۹ حدود ۵۰ درصد کل اراضی تحت آبیاری کشور به درجات مختلف با مشکلات شوری، سدیمی بودن، حالت زهداری و شرایط ماندگاری رو به رو بوده است که انتظار می‌رود همانکنون گسترش بیشتری یافته باشد (درویش، ۱۳۸۴). در هر شرایطی افزایش عملکرد در واحد سطح اراضی فاریاب و یا گسترش سطح کشت فعلی در گرو اعمال مدیریت صحیح، بهره‌برداری و مصرف علمی معقول و مدبرانه از منابع فیزیکی تولید (آب و خاک) می‌باشد. اعمال این مدیریت در کشاورزی و آبیاری از طریق پیگیری اهدافی نظیر صرفه جویی در مصرف آب، کاهش خسارات کم آبی از طریق توزیع مناسب، توسعه وسایل بهره‌برداری مرکزی به منظور آبیاری مطلوب‌تر و بالاخره کاهش مسایل شوری و زهکشی خاک و اراضی عملی می‌باشد (Ghassemi and Jakeman, 1991).

بر طبق نظر ریو و همکاران در خاک‌هایی که بیش از حد شور می‌باشند، می‌توان با کاربرد ۳۰ سانتی‌متر آب با کیفیت خوب، عمقی معادل ۳۰ سانتی‌متر خاک را آبشویی و محیط مناسبی جهت رشد گیاه فراهم آورد. بر اساس مطالعاتی که وی بر روی یک خاک لومی-رسی-سیلتی با متوسط هدایت الکتریکی عصاره اشبع بیش از ۴۰ دسی زیمنس بر متر انجام داد، فرمول تجربی زیر را به منظور برآوردن مقدار آب مورد نیاز آبشویی ارائه کرده است. کاربرد این فرمول در

شرایطی است که میزان آب محاسبه شده به روش غرقابی دائم به خاک اعمال می‌شود (به نقل از محمدی، ۱۳۷۰):

$$\frac{Dw}{Ds} = \frac{1}{5\left(\frac{C}{C_0}\right)} + 0.15 \quad (1)$$

که در آن:  $Dw$  عمق آب کاربردی و  $Ds$  عمق خاک (هر دو بر حسب سانتی‌متر)  $C$  و  $C_0$  ( $dS/m$ ) به ترتیب میانگین غلظت املاح در همان عمق از خاک قبل و پس از آبشویی می‌باشد (پذیرا، ۱۳۶۷).

ماکینگ (Making) پس از انجام مطالعاتی معادله ریو را به صورت زیر تغییر داد و روی

$$\text{محور } X \text{ ها} \quad \frac{Dw}{Ds} \quad \text{و روی محور } Y \text{ ها} \quad \frac{EC_f}{EC_i} \quad \text{قرار داد و اولین مدل را ارائه کرد} \quad (2)$$

(به نقل از پذیرا، ۱۳۶۹، ۱۳۶۷):

$$\frac{Dw}{Ds} = \frac{1}{5\left(\frac{EC_f}{EC_i}\right)} + 0.15 \quad (2)$$

روابط (۱) و (۲) برای شرایط مشخص خاک و آب ارائه شده و ممکن است برای شرایط و مکان‌های مختلف کاربرد نداشته باشد و نیاز به ضریب تصحیح داشته باشد. ارتفاع آب مورد نیاز جهت آبشویی بستگی به خواص فیزیکی و شیمیایی خاک، کیفیت آب آبشویی و روش آبشویی دارد. بر طبق نظر درگاهی (Dregne, 1976) مقدار آب مورد نیاز آبشویی با تجزیه‌های انجام شده روی خاک، آب آبشویی و آب زهکشی در ارتباط می‌باشد.

وان هورن نتایج متضادی را با کاربرد معادله (۲) و حتی با همان بافت خاک (لومی شنی تا لومی سیلتی) گزارش نموده است. اشکال این مدل عدم توجه به شوری تعادلی (ECe) و رطوبت اولیه خاک می‌باشد (به نقل از حیدری، ۱۳۷۳).

ال. پی. روزوف فرمول تجربی زیر را به منظور محاسبه مقدار آب آبشویی مورد نیاز خاک‌های سولونچاک ارائه نمود (به نقل از پذیرا، ۱۳۶۷):

$$R^* = W_{fc} - W_t + nW_{fc} \quad (3)$$

در آن:  $R^*$  مقدار آب آبشویی،  $W_{fc}$  رطوبت خاک در حد ظرفیت مزرعه،  $W_t$  مقدار آب ذخیره شده در خاک قبل از آبشویی همه بر حسب متر مکعب در هکتار و  $n$  ضریب می‌باشد، که طبق پیشنهاد روزوف بین ۰/۵ و ۲ تغییر می‌کند. ضریب  $n$ ، با توجه به افزایش شوری خاک و

نامناسب بودن خواص مکانیکی آن، بزرگتر شده، به تبعیت از آن مقدار آب مورد نیاز آبشویی نیز افزایش می‌یابد. ولوبیو (V.R Volobuev) فرآیند آبشویی را به وسیله زیر بیان نمود (به نقل از حیدری، ۱۳۷۳):

$$\varphi = \varphi_1 + \varphi_2 + \varphi_3 \quad (4)$$

که در آن  $\varphi$  : عمق آب مورد نیاز آبشویی،  $\varphi_1$  : مقدار آب مورد نیاز جهت رسیدن رطوبت خاک به حد ظرفیت مزرعه،  $\varphi_2$  : مقدار آب مورد نیاز جهت رسیدن رطوبت خاک از ظرفیت زراعی به حد اشباع،  $\varphi_3$  : مقدار آبی که پس از رسیدن خاک به حد اشباع از آن عبور می‌کند.

کوودا رابطه زیر را جهت آب مورد نیاز آبشویی پیشنهاد نمود (به نقل از حیدری، ۱۳۷۳):

$$Y = n_1 \cdot n_2 \cdot n_3 \cdot 400X \pm 100 \quad (5)$$

در آن  $Y$  عمق آبشویی (میلی‌متر)،  $X$  میانگین املاح محلول در نیمروخ خاک به عمق ۳ متر (بر حسب درصد وزنی)،  $n_1$  ضریبی که بستگی به شرایط مکانیکی خاک دارد و برای خاک‌های شنی، لوم و رسی به ترتیب  $0/5$  و  $1$  و  $2$  و  $n_2$  ضریب مربوط به عمق آب زیر زمینی (متر) و برای اعماق آب زیر زمینی برابر  $1/5-2$  و  $2-5$  و  $7-10$  متر به ترتیب برابر  $3$  و  $1/5$  و  $1$  است. ضریب  $n_3$  برای شوری آب زیرزمینی در حد کم تا متوسط، زیاد و خیلی زیاد به ترتیب  $1$  و  $2$  و  $3$  می‌باشد (حیدری، ۱۳۷۳).

لافلر و شارما اعتقاد به مدل ریو داشتند و برای خاک‌های خودشان ضرایب معادله را حساب کردند و هدایت الکتریکی تعادلی ( $EC_e$ ) و رطوبت اولیه خاک نیز توجه نمودند (به نقل از پذیرا ۱۳۸۰).

$$\frac{EC_f - EC_e}{EC_i - EC_e} = \frac{0.062}{\frac{D_{lw}}{D_s}} + 0.034 \quad (6)$$

$D_{lw}$  عمق ناخالص آب (آب آبیاری بر حسب سانتی‌متر) پذیرا و کاوچی در سال ۱۹۸۱ مدلی برای خاک‌های ایران ارائه کردند، که برای قسمت مرکزی خوزستان می‌باشد و مشابه مدل ریو است (به نقل از پذیرا، ۱۳۸۰):

$$\frac{EC_f - EC_e}{EC_i - EC_e} = \frac{0.070}{\frac{D_{lw}}{D_s}} + 0.023 \quad (V)$$

ورما و گوپتا (۱۹۸۹) دو مدل برای شرایط غرقاب دائم و دیگری برای غرقاب متناوب ارائه نمودند (به نقل از پذیرا، ۱۳۸۰):

#### ۱- شرایط غرقاب دائم :

$$\frac{EC_f - EC_e}{EC_i - EC_e} = 0.099 * \left( \frac{D_{lw}}{D_s} \right)^{-1.27} \quad (8)$$

#### ۲- شرایط غرقاب متناوب:

$$\frac{EC_f - EC_e}{EC_i - EC_e} = 0.09 * \left( \frac{D_{lw}}{D_s} \right)^{-1.63} \quad (9)$$

مؤسسه‌ی خاک و آب در مکان‌های مختلف، هدایت الکتریکی (EC) و شرایط مختلف آب و هوایی فرمول زیر را ارائه کرد (پذیرا، ۱۳۸۰):

$$\frac{EC_f - EC_e}{EC_i - EC_e} = 0.47 - \ln \left( \frac{D_w}{D_s} \right) \quad (10)$$

همچنین این موسسه مدل پذیرا و کشاورز را به شکل زیر ارائه نموده است (پذیرا، ۱۳۸۰):

$$\frac{EC_f - EC_e}{EC_i - EC_e} = 0.0764 * \left( \frac{D_{lw}}{D_s} \right)^{-0.864} \quad (11)$$

با وجود تنوع روابط ارائه شده هنوز نمی‌توان یک رابطه استاندارد برای مناطق مختلف ایران خصوصاً مناطق خشک و نیمه خشک منظور نمود. هدف از این تحقیق ارائه مدلی است که بتوان از آن برای آبشویی مناطق جنوب شرق استان خوزستان با بالاترین دقت استفاده نمود. نتایج این تحقیق ضمن استفاده در مناطق مورد مطالعه برای مناطق مشابه نیز قابل استفاده است.

## مواد و روش‌ها

منطقه مورد مطالعه به مساحت ۱۷۶۳۲ هکتار با کیفیت شیمیایی شور و سدیمی در بخشی از اراضی جنوب شرقی استان خوزستان بین  $36^{\circ}, 45^{\circ}$  تا  $49^{\circ}, 45^{\circ}$  طول شرقی و  $30^{\circ}, 15^{\circ}$  تا  $30^{\circ}, 30^{\circ}$  عرض شمالی واقع شده است. در این منطقه چهار کرت به ابعاد  $1 \times 1$  متر و سه تکرار ایجاد شد (آرایش کرتهای در شکل ۱ آمده است). به منظور تعیین میزان املاح قبل از آبشویی یک کرت به عنوان شاهد بدون اضافه کردن آب، اقدام به نمونه برداری گردید. مشخصات شیمیایی آب و خاک دو منطقه قبل از انجام آزمایش در جداول ۱، ۲ و ۳ آمده است. در دور اول به هر کدام از کرتهای ۲۵ سانتی‌متر یا  $250$  لیتر آب اضافه و به طور تصادفی از هر کدام از تکرارها یک کرت انتخاب نموده و پس از خروج آب ثقلی، از عمق  $25$  سانتی‌متری با استفاده از آگر خاکشناسی اقدام به نمونه برداری گردید. کرتهای نمونه برداری شده از دور آزمایش حذف،  $250$  لیتر آب دیگر به کرتهای باقی‌مانده اضافه شده و پس از خروج آب ثقلی از هر کدام از تکرارها به طور تصادفی از عمق  $50$  سانتی‌متری اقدام به نمونه برداری گردید. به همین ترتیب تا عمق  $100$  سانتی‌متر اقدام به آبشویی و نمونه برداری نموده و نمونه‌ها پس از خشک شدن در هوای آزاد به آزمایشگاه جهت محاسبه هدایت الکتریکی عصاره اشباع خاک، اسیدیته، گچ و آهک، ظرفیت تبادل کاتیونی، میزان سدیم قابل تعویض کاتیون‌ها و آئیون‌های محلول عصاره اشباع خاک، سدیم و در نهایت برآورده درصد سدیم تبادلی خاک ارسال شد. اسید به منظور جلوگیری از قلیایی شدن خاک و شستشوی سدیم اضافه می‌گردد که در منطقه دوم در یک تیمار به مقدار پنج تن در هکتار اسید سولفوریک غلیظ اضافه گردید. بدین ترتیب به هر کرت از کرتهای که به ابعاد  $1 \times 1$  متر می‌باشند،  $0/27$  لیتر اسید اضافه شد. به منظور بدست آوردن مدل‌های مختلف ریاضی از برنامه SPSS استفاده شد. عمق خالص آب آبیاری به عمق خاک را به عنوان X (متغیر مستقل) و اختلاف هدایت الکتریکی نهایی با هدایت الکتریکی تعادلی به اختلاف هدایت الکتریکی اولیه با هدایت الکتریکی تعادلی ( $\frac{EC_f - EC_{eq}}{EC_i - EC_{eq}}$ ) به عنوان (متغیر وابسطه) Y وارد گردید. سپس یازده مدل تجربی توسط برنامه استخراج شد. یازده مدل مورد استفاده در جدول ۴ آمده است.



شکل ۱ نحوه آرایش کرتها

Fig. 1. Experimental Plant

جدول ۱- کیفیت شیمیایی خاک قبل از کاربرد آب آبشویی در منطقه ۱

Table 1. Soil Chemical Quality before of Leaching in Area No.1

درصد سدیم	درصد سبدیم	نسبت جذب	نسبت تبادلی	ظرفیت کلی	میلی‌اکی والان در کاتیونی	درصد مواد صلد گرم خاک)	درصد مواد خشی	اسیدیته عصاره	هدایت الکتریکی	درصد اشباع	عمق نموده برداری
تبادلی	تبادلی	تبادلی	تبادلی	ESP	C.E.C	Gypsum	شونده	اشباع خاک	ECe	%SP	Sampling Depth
ESP(2)	ESP(1)	SAR	( $\frac{meq}{100gsoil}$ )	( $\frac{meq}{100gsoil}$ )	( $\frac{meq}{100gsoil}$ )	T.N.V	pH				
$CaSO_4 \cdot 2H_2O$											
41.29	77.36	48.54	7.62	9.85	7.34	70.10	6.85	78.20	41.20	0-25	
44.07	72.26	54.27	5.60	7.75	3.87	68.07	6.90	49.10	42.60	25-50	
41.50	31.00	48.59	5.05	16.29	36.24	63.50	6.85	44.20	48.80	50-75	
41.50	32.77	46.93	4.62	14.10	59.09	67.56	7.10	42.50	45.60	75-100	

$$ESP = \frac{Ex \cdot Na}{C \cdot E \cdot C} \times 100^*$$

$$** ESP = \frac{100(-0.0126 + 0.01475SAR)}{1 + (-0.0126 + 0.01475SAR)}$$

## ۲- کیفیت شیمیایی خاک قبل از کاربرد آب آبشویی در منطقه ۲

Table 2. Soil Chemical Quality before of Leaching in Area No.2

درصد سدیم	درصد سدیم	نسبت جدب	سدیم تبادلی	ظرفیت تبادل	(میلی‌اکی‌ولان در خثشی)	درصد مواد صد گرم خاک)	اسیدیته عصاره	هدايت الکتریکی	درصد ashbaw	عمق نمونه‌برداری	Sampling Depth
$CaSO_4 \cdot 2H_2O$											
34.51	25.18	36.58	5.01	19.90	6.24	36.00	7.10	46.50	33.00	0-25	
30.41	45.62	30.48	6.25	13.70	6.86	36.00	6.95	36.60	32.00	25-50	
30.12	44.49	30.07	5.25	11.71	7.41	67.00	7.10	38.20	30.00	50-75	
29.88	36.58	29.74	6.01	16.43	24.88	69.00	7.20	36.40	30.00	75-100	

$$ESP = \frac{Ex \cdot Na}{C \cdot E \cdot C} \times 100^*$$

$$ESP = \frac{100(-0.0126 + 0.01475SAR)}{1 + (-0.0126 + 0.01475SAR)} \quad **$$

## جدول ۳- مشخصات کیفیت آب آبیاری

Table 3. Quality of Irrigation Water

نسبت جذب سدیم SAR	$\frac{meq}{l}$	میلی‌اکی‌ولان در لیتر	$\frac{(dS)}{m}$ EC	تاریخ نمونه‌برداری	Sampling Date		
					pH	سال	ماه
						Year	Moon
5.60	10.90	7.38	7.60	2.025	67	12	18

جدول ۴- مدل‌های تجربی بررسی شده در این تحقیق

**Table 4. Evaluation Empirical Models**

نام مدل Name Model	ردیف Row	مدل مربوطه Formula
خطی	1	$Y = a.X + b$
لگاریتمی	2	$Y = a.\ln X + b$
معکوس	3	$Y = a.\frac{1}{X} + b$
درجه دوم	4	$Y = ax^2 + bX + c$
درجه سوم	5	$Y = ax^3 + bX^2 + cX + d$
توانی	6	$Y = bX^a$
مرکب	7	$Y = b.a^x$
اس	8	$Y = e^{(\frac{a}{X}+b)}$
لジستیک	9	$Y = 1/(1/u + (b.a^x))$
رشد	10	$Y = e^{aX+b}$
نمائی	11	$Y = b.e^{a.X}$

## نتایج و بحث

نتایج برای عمق‌های مختلف و تناوب‌های آب آبشویی در جدول ۵ ارائه شده است. با توجه به جدول ۵ قبل از اعمال آبشویی بیشترین هدایت الکتریکی مربوط به عمق ۲۵-۰ سانتی‌متری یعنی ۷۸/۲۰ دسی‌زیمنس بر متر می‌باشد که پس از انجام آبشویی در عمق ذکر شده به طور متوسط شوری خاک به  $\frac{dS}{m}$  کاهش پیدا کرده است. تا عمق ۱۰۰ سانتی‌متری خاک با اضافه کردن ۱۰۰ سانتی‌متر آب آبیاری به صورت میانگین از ۵۳/۵ به ۱۳/۳۵ کاهش پیدا کرده است.

جدول ۵- هدایت الکتریکی در عمق‌های مختلف با تناوب‌های آبیاری قبل و بعد از اعمال آبشویی در منطقه ۱.

**Table 5. Electrical Conductivity in Different Depths With Irrigation Alternations before and after Leaching in Pilot No.1.**

EC Soil Saturation Extract after Application Different Alteration Apply Water	هدایت الکتریکی عصاره اشباع خاک پس از کاربرد تناوب‌های مختلف آب کاربردی				هدایت الکتریکی قبل از آبشویی $EC$ before of Leaching ( $EC_i$ )	عمق نمونه برداری Depth of Sampling (cm)	ردیف Row
	$D_w = 100$	$D_w = 75$	$D_w = 50$	$D_w = 25$			
میانگین Average	$EC_f \left( \frac{ds}{m} \right)$	$EC_f (100)$	$EC_f (75)$	$EC_f (50)$	$EC_f (25)$		
4.00	3.60	3.30	4.70	4.40	78.20	0-25	1
5.32	3.20	2.80	7.90	7.40	49.10	25-50	2
7.02	3.30	3.20	17.00	44.60	44.20	50-75	3
27.07	4.70	8.30	42.80	52.50	42.50	75-100	4
13.35	3.70	4.40	18.10	27.22	53.50	Average	میانگین

در مورد درصد سدیم تبادلی نیز به طور میانگین تا عمق ۱۰۰ سانتیمتری میزان درصد سدیم

تبادلی از ۱۴/۶۳ به ۵۳/۳۵ کاهش پیدا کرده است جدول (۲).

جدول ۶- درصد سدیم تبادلی در عمق‌های مختلف با تناوب‌های آبیاری قبل و بعد از اعمال آبشویی در منطقه ۱.

**Table 6. Exchangeable Sodium Percentage in Different Depth With Irrigation Alternations before and after Leaching in Pilot No.1.**

ESP Soil Saturation Extract after Application Different Alteration Apply Water	درصد سدیم تبادلی خاک پس از کاربرد تناوب‌های مختلف آب کاربردی				درصد سدیم تبادلی قبل از آبشویی $ESP$ before of Leaching ( $ESP_i$ )	عمق نمونه برداری Depth of Sampling (cm)	ردیف Row
	$D_w = 100$	$D_w = 75$	$D_w = 50$	$D_w = 25$			
میانگین Average	$ESP_f$	$ESP_f (100)$	$ESP_f (75)$	$ESP_f (50)$	$ESP_f (25)$		
4.52	3.23	3.59	6.25	4.65	77.36	0-25	1
8.41	3.03	4.40	12.41	13.81	72.26	25-50	2
20.05	1.94	5.46	20.49	52.32	31.00	50-75	3
25.53	4.30	3.26	47.67	46.89	32.77	75-100	4
14.63	3.12	4.27	27.70	29.42	53.35	Average	میانگین

با توجه به شکل ۲ ملاحظه می‌شود که در مورد هدایت الکتریکی٪/۸۶/۶۷ املاح تا عمق

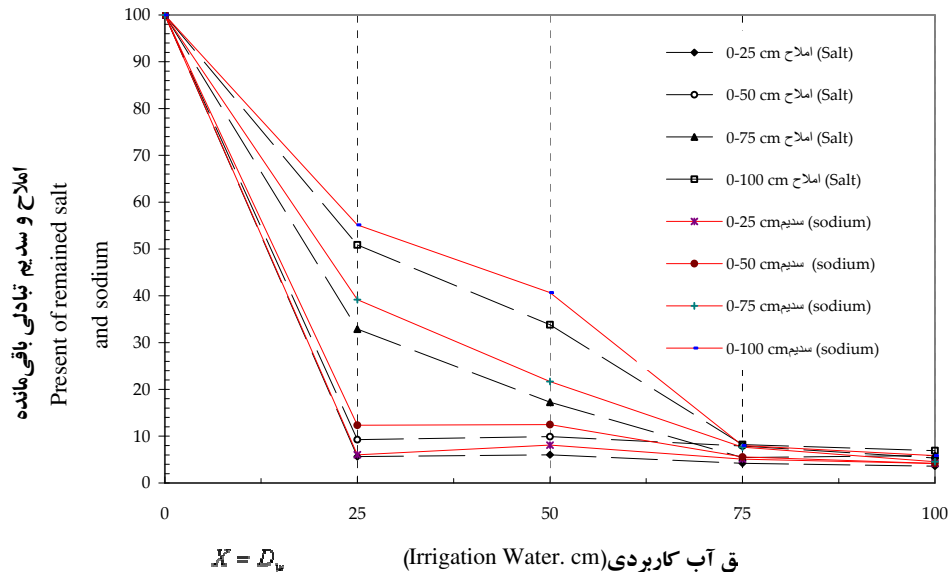
۱۰۰ سانتی‌متری شسته شده و تنها٪/۱۳/۳۲ املاح اولیه در خاک باقی‌مانده است و در مورد درصد

سدیم تبادلی٪/۸۴/۹۶ شسته شده و٪/۱۵/۰۴ در خاک باقی‌مانده است.

شکل ۲ نشان می‌دهد که با افزایش عمق آب آبشویی در صد املاح و سدیم باقی‌مانده در خاک کمتر خواهد بود و عمق ۲۵-۰ سانتی‌متری در زیر بقیه منحنی‌ها قرار گرفته است و به همین ترتیب برای اعمق بعدی به ترتیب زیر هم قرار گرفته‌اند. دلیل این که منحنی‌ها به صورت منظم بدون برخورد با هم کاهش پیدا کرده‌اند می‌توان به یکنواخت بودن بافت خاک یا هموزن بودن خاک اشاره کرد.

همان‌طور که در شکل ۲ ملاحظه می‌شود در عمق ۰-۲۵ با اضافه کردن ۲۵ سانتی‌متر آب بیش از ۹۰٪ املاح اولیه شسته شده‌اند و با اضافه کردن آب در تناوب‌های بعد افزایش زیادی در شستشوی املاح مشاهده نمی‌شود. به فرض برای عمق ۰-۱۰۰ با اضافه کردن ۲۵ سانتی‌متر آب کمتر از ۵۰٪ املاح اولیه شسته شده در حالی که اضافه کردن ۷۵ سانتی‌متر آب به این عمق به میزان ۹۰٪ املاح شستشو یافته است. بنابراین برای شستشوی املاح لازم است عمق مورد اصلاح را تعیین و به همان مقدار آب به خاک اضافه نمود، زیرا در غیر این صورت اگر کمتر از عمق مورد اصلاح آب داده شود، عمل شستشو کم است و مشکل شوری را به وجود خواهد آمد و اگر بیشتر از عمق مورد اصلاح استفاده شود، باعث افزایش هزینه، بدون کاهش چشمگیر املاح می‌گردد.

شکل ۲ بیانگر این واقعیت است که همراه با کاربرد ۷۵ سانتی‌متر آب آبیاری به منظور شستشوی املاح، شستشوی سدیم نیز موازی با آن صورت می‌گیرد و نیاز به اضافه کردن مواد اصلاح کننده نخواهد داشت. با توجه به جدول ۷، از ۱۰۰ سانتی‌متر آب داده شده به خاک به عنوان آب آبیاری به علت کمبود رطوبت تا عمق ۱۰۰ سانتی‌متری، به میزان ۸ سانتی‌متر عمق آب که عملاً صرف شستشوی املاح گردیده است. باایستی از میزان آب اضافه شده به خاک مقدار کمبود رطوبت کسر گردد، تا آن مقدار آبی که باعث شستشوی املاح گردیده در محاسبات وارد شود.



شکل ۲- مقایسه کاربرد آب آبشویی در شستشوی املاح با سدیم.

**Fig.2 Comparison of Effect of Different Water Application on Salt and Sodium Leaching in Pilot No.1.**

جدول ۷- کمبود رطوبت لایه‌های مختلف خاک

**Table 7. Deficit Moisture in Different Soil Layer.**

تجمعی	Totally	Deficit Moisture	کسر رطوبت لایه مربوطه (d)	وزن مخصوص ظاهری	درصد رطوبت وزنی		ضخامت لایه	عمق	Soil Depth	ج.م	Row
					$\theta_{mc}$	$\theta_{mFC}$					
							Layer				
							Depth				
3.47	3.47	1.40	11.00	20.93	25	0-25	1				
5.18	1.71	1.52	14.15	18.65	25	25-50	2				
6.59	1.41	1.48	13.20	17.00	25	50-75	3				
8.00	1.41	1.48	13.20	17.00	25	75-100	4				

$$d = \frac{(\theta_{mc} - \theta_{mFC}) \times \rho_d \times D}{100}$$

هدایت الکتریکی تعادلی خاک برابر  $\frac{ds}{m}$  بدست آمد به این معنی که با توجه به

هدایت الکتریکی آب آبیاری (۲۰۲۵) دیگر نمی‌توان شوری خاک را از این مقدار کاهش داد.

(هدایت الکتریکی تعادلی خاک را  $1/5$  تا  $2$  برابر هدایت الکتریکی آب آبیاری در نظر می‌گیرند).

علت کم کردن هدایت الکتریکی تعادلی از هر کدام داده‌های مربوط و بدست آوردن عمق آب خالص به عمق آب ناخالص، عمومیت دادن به مدل بدست آمده و جدا کردن شرایط محیطی و رطوبت اولیه از آزمایش می‌باشد.

نسبت هدایت الکتریکی نهایی به هدایت الکتریکی اولیه خاک تا عمق ۱۰۰ سانتی‌متری خاک به  $0/012$  و در مورد سدیم تبادلی نسبت به  $0/023$  رسیده است. در مورد نسبت عمق خالص آب آبشویی (آب آبشویی) به عمق ناخالص آب آبشویی (آب آبیاری) در عمق ۱۰۰ سانتی‌متری پس از کاربرد ۱۰۰ سانتی‌متر آب آبیاری به  $0/92$  رسیده است. همان‌طور که در جدول ۸ ملاحظه می‌شود پس از تست یازده مدل تجربی با برنامه SPSS در مورد هدایت الکتریکی ضرایب معادلات حساب شده و مدل معکوس با ضریب همبستگی  $92\%$  بالاترین همبستگی و مدل خطی با ضریب همبستگی  $54\%$  کمترین همبستگی را داشته است. معادله معکوس با ضرایب حساب شده به صورت زیر می‌باشد.

$$Y = 0.086 \frac{1}{X} - 0.048 \quad (12)$$

در مورد درصد سدیم تبادلی از یازده مدل تست شده مانند هدایت الکتریکی مدل معکوس بیشترین ضریب همبستگی  $83\%$  و کمترین همبستگی مدل خطی  $30\%$  می‌باشد. معادله معکوس برای درصد سدیم تبادلی با ضرایب حساب شده به صورت زیر می‌باشد.

(13)

$$Y = 0.095 \frac{1}{X} - 0.030$$

جدول ۸ - نتایج انواع مدل‌های تجربی در منطقه ۱ (برای هدایت الکتریکی)

Table 8. Result of Evaluated Empirical Models in Pilot No1. (For EC)

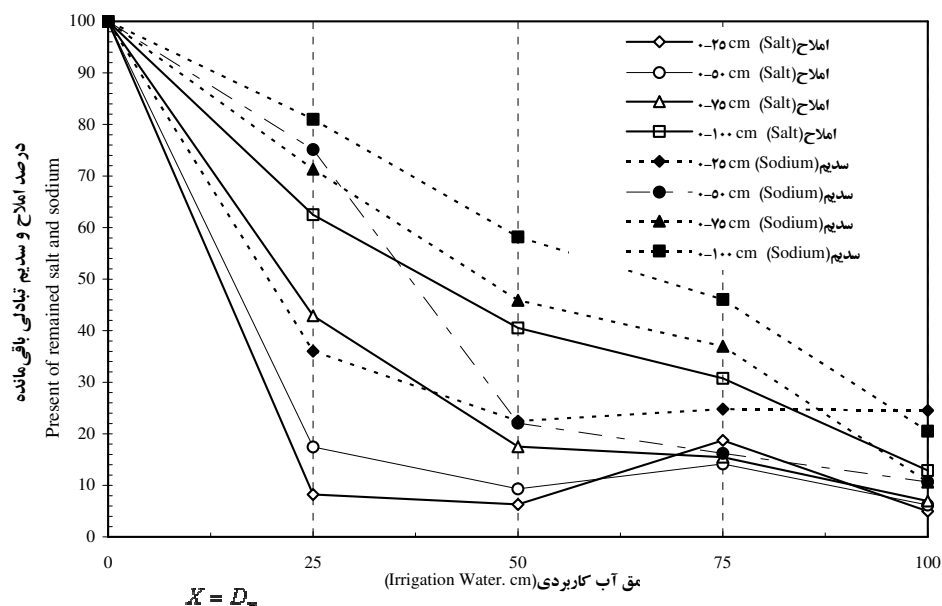
ردیف Row	نام مدل Model	مدل مربوطه Formula	ضرایب ثابت س						آماره‌های حساب شده Paramenters Statistic	
			Coeficient							
			سطح Meaningful	R	R <sup>2</sup>	d	C	b		
<b>بدون</b>										
1	خطی	Y = a.X + b	Linear	0.0450	0.542	0.294	-	0.190	-0.075	آماره‌های حساب شده Paramenters Statistic
2	لگاریتمی	Y = a.lnX + b	Logarithmic	0.0007	0.791	0.626	-	0.077	-0.130	آماره‌های حساب شده Paramenters Statistic
3	معکوس	$Y = a \cdot \frac{1}{X} + b$	Inverse	0.0000	0.920	0.847	-	-0.048	0.086	آماره‌های حساب شده Paramenters Statistic
4	درجه دوم	$Y = ax^2 + bX + c$	Quadratic	0.0086	0.761	0.579	-	0.330	-0.337	آماره‌های حساب شده Paramenters Statistic
5	درجه سوم	$Y = ax^3 + bX^2 + cX + d$	Cubic	0.0019	0.872	0.761	0.493	0.840	0.410	آماره‌های حساب شده Paramenters Statistic
6	توانی	$Y = bX^a$	Power	0.0000	0.883	0.779	-	-	0.023	آماره‌های حساب شده Paramenters Statistic
7	مرکب	$Y = b.a^X$	Compound	0.0028	0.733	0.538	-	-	0.121	آماره‌های حساب شده Paramenters Statistic
8	اس	$Y = e^{\frac{a}{X}+b}$	S	0.0002	0.842	0.710	-	-	-4.979	آماره‌های حساب شده Paramenters Statistic
9	لوجستیک	$Y = 1/(1/u + (b.a^X))$ *	Logistic	0.0030	0.731	0.534	-	-	7.815	آماره‌های حساب شده Paramenters Statistic
10	رشد	$Y = e^{aX+b}$	Growth	0.0028	0.733	0.538	-	-	-2.107	آماره‌های حساب شده Paramenters Statistic
11	نمایی	$Y = b.e^{a.X}$	Exponential	0.0028	0.733	0.537	-	-	0.121	آماره‌های حساب شده Paramenters Statistic

نیا تعداد جفت عددی بکار برده شده ۱۴ می‌باشد.

برای منطقه دوم بدون اضافه کردن اسید و همچنین با اضافه کردن اسید مشابه آنچه که در مورد منطقه اول بیان گردید محاسبات انجام شد نتایج به شرح زیر می‌باشد.

شکل ۳ نشان می‌دهد که در منطقه دوم بدون اضافه کردن اسید، در مورد هدایت الکتریکی املاح تا عمق ۱۰۰ سانتی‌متری شسته شده و تنها ۷/۷۵٪ املاح اولیه در خاک باقی‌مانده است و در مورد درصد سدیم تبادلی ۸۳/۴۲٪ شسته شده و ۱۶/۵۸٪ در خاک باقی‌مانده است. در عمق ۰-۲۵ با اضافه کردن ۲۵ سانتی‌متر آب بیش از ۹۰٪ املاح اولیه شسته شده‌اند و با اضافه کردن آب در تناوب‌های بعد افزایش زیادی در شستشوی املاح مشاهده نمی‌شود همچنین برای

عمق ۰-۱۰۰ سانتی متر آب کمتر از ۴۰٪ املاح اولیه شسته شده در حالی که اضافه کردن ۱۰۰ سانتی متر آب به این عمق به میزان ۹۰٪ املاح شستشو یافته است. در شکل ۳ خطوط خطيچين تغييرات درصد سدیم و خط های ممتد مربوط به شوری می باشد. با توجه به اين نمودار ملاحظه می شود که در كاربرد آب آب شویی به میزان ۲۵ سانتی متر اختلاف زیادی بین منحنی های شستشوی املاح و سدیم وجود دارد ولی در تناوب های بعدی و به خصوص ۱۰۰ سانتی متری هماهنگی بيشتری از خود نشان می دهند. در يك جمع بندی كاربرد ۱۰۰ سانتی متر آب به منظور اصلاح ۱۰۰ سانتی متر خاک شستشوی املاح همراه با سدیم و هماهنگ با آن صورت گرفته و خطر سدیمی شدن خاک وجود ندارد.



شکل ۳ - مقایسه کاربرد آب آب شویی در شستشوی املاح با سدیم در منطقه دوم

**Fig.3. Comparison of Water Application on Salt and Sodium in Second Area in Leaching Pilot No2.**

همان طور که در جدول ۹ ملاحظه می شود پس از تست یازده مدل تجربی با برنامه SPSS در مورد هدایت الکتریکی ضرایب معادلات حساب شده است و مدل معکوس با ضریب رگرسیون ۸۰٪ بالاترین همبستگی بدست آمده است و مدل خطی با ضریب همبستگی ۲۹٪ کمترین ضریب را داشته است. معادله معکوس با ضرایب حساب شده به صورت زیر می باشد.

$$Y = 0.095 \frac{1}{X} + 0.036 \quad (14)$$

با توجه به جدول ۱۰ در مورد درصد سدیم تبادلی از یازده مدل تست شده مدل درجه سوم بیشترین ضریب همبستگی (٪۹۴) می‌باشد. معادله برای درصد سدیم تبادلی به صورت زیر می‌باشد.

$$Y = -0.079X^3 + 0.590X^2 - 1.314X + 0.937 \quad (15)$$

جدول ۹- نتایج انواع مدل‌های تجربی در منطقه ۲ (برای هدایت الکتریکی)

**Table 9. Results of Evaluated Empirical Models for Leaching EC in Pilot No.2**

ردیف Row	نام مدل Model	مدل مربوطه Formula	ضرایب ثابت Coefficients						آماره‌های حساب شده Accounting Statistic	
			سطح معنی دار بودن		R		R <sup>2</sup>		d	
			b	a					C	
1	خطی	$Y = a.X + b$	Linear	-	0.264	-	0.091	0.0303	0.541	0.293
2	لگاریتمی	$Y = a.\ln X + b$	Logarithmic	-	0.123	-	0.140	0.0001	0.851	0.665
3	معکوس	$Y = a.\frac{1}{X} + b$	Inverse	-	0.036	0.059	-	0.0000	0.895	0.800
4	درجه دوم	$Y = ax^2 + bx + c$	Quadratic	-	0.410	-0.376	0.078	0.0046	0.750	0.563
5	درجہ سوم	$Y = ax^3 + bx^2 + cx + d$	Cubic	-	0.505	-	0.077	0.0002	0.889	0.791
6	توانی	$Y = bX^a$	Power	-	0.073	-	0.917	0.0002	0.795	0.633
7	مرکب	$Y = b.a^X$	Compound	-	0.221	0.469	-	0.0045	0.670	0.450
8	اس	$Y = e^{(\frac{a}{X}+b)}$	S	-	-3.027	0.311	-	0.0021	0.710	0.504
9	لجستیک	$Y = 1/(1/u + (b.a^X))*$	Logistic	-	4.199	2.190	-	0.0047	0.668	0.447
10	رشد	$Y = e^{aX+b}$	Growth	-	-1.508	-	0.758	0.0045	0.670	0.450
11	نمایی	$Y = b.e^{a.X}$	Exponential	-	0.221	-	0.758	0.0045	0.670	0.450

n یا تعداد جفت عددهای بکار برده شده ۱۵ می‌باشد

جدول ۱۰- نتایج انواع مدل‌های تجربی در منطقه ۲ (برای درصد سدیم تبادلی)

Table 10. Results of Evaluated Empirical Models for Leaching ESP in Pilot No.2

نام مدل	Row	Formulas	Model	Coefficients ثابت						آماره های حساب شده	
				مودل مربوطه	b	a	C	d	R <sup>2</sup>	R	
<b>Accounting Statistic</b>											
بودن											
0.0107	0.637	0.405	-	-	0.489	- 0.163			Y = a.X + b	Linear	خطی ۱
0.0000	0.889	0.790	-	-	0.235	- 0.235			Y = a.lnX + b	Logarithmic	لگاریتمی ۲
0.0001	0.839	0.704	-	-	0.126	0.083			$Y = a \cdot \frac{1}{X} + b$	Inverse	معکوس ۳
0.0000	0.912	0.832	-	0.777	-0.741	0.157			$Y = ax^2 + bX + c$	Quadratic	درجه دوم ۴
0.0000	0.968	0.936	0.937	-1.314	0.590	- 0.079			$Y = ax^3 + bX^2 + cX + d$	Cubic	درجه سوم ۵
0.0043	0.691	0.478	-	-	0.148	- 0.834			$Y = bX^a$	Power	توانی ۶
0.0620	0.493	0.243	-	-	0.364	0.562			$Y = b.a^X$	Compound	مرکب ۷
0.0153	0.612	0.375	-	-	-2.255	0.277			$Y = e^{(\frac{a}{X}+b)}$	S	اس ۸
0.0545	0.505	0.256	-	-	2.386	1.866			$Y = 1/(1/u + (b.a^X))$ *	Logistic	لجنستیک ۹
0.0620	0.439	0.243	-	-	-1.010	- 0.576			$Y = e^{aX+b}$	Growth	رشد ۱۰
0.0620	0.439	0.243	-	-	0.364	- 0.576			$Y = b.e^{a.X}$	Exponential	نمایی ۱۱

\* یا تعداد جفت عدددهای بکار برده شده ۱۳ می‌باشد.

در مورد نتایج به دست آمده برای منطقه دوم همراه با کاربرد اسید باید بیان نمود. در مورد هدایت الکتریکی مدل‌های معکوس، مرکب، لجستیک، رشد و نمائی با ضریب رگرسیون ۷۶٪ بالاترین همبستگی را داشته است و مدل اس با ضریب همبستگی ۴۵٪ کمترین ضریب را داشته است. معادلات با ضرایب حساب شده به شکل زیر می‌باشند:

$$Y = 0.050 \frac{1}{X} + 0.004 \quad \text{معکوس (۱۶)}$$

$$Y = 0.487 \times 0.040^X \quad \text{مرکب (۱۷)}$$

$$Y = \frac{1}{\frac{1}{u} + (1.88026.718^X)} \quad u = ۳/۷۸۸ \quad \text{لجدستیک (۱۸)}$$

$$Y = e^{-3.218X - 0.72} \quad \text{رشد (۱۹)}$$

$$Y = 0.487e^{-03.218X} \quad \text{نمایی (۲۰)}$$

در مورد درصد سدیم تبادلی از یازده مدل تست شده مدل درجه سوم بیشترین ضریب همبستگی (۸۸٪) را نشان داده است که معادله به دست آمده به شکل زیر است: معادله به صورت زیر می‌باشد.

$$Y = -0.090X^3 + 0.770X^2 - 1.850X + 1.302 \quad (۲۱)$$

در جدول ۱۱ نتایج را به طور خلاصه نشان می‌دهد.

جدول ۱۱- نتایج مدل‌های تجربی آبشویی برای مناطق ۲ و ۱

Table 11. Empirical Leaching Models for Pilot 1 and 2

ردیف Row	منطقه Area	کاربرد Use Acid	اسید Acid	ردیف Row	نام مدل Model Name	واریانس Variation	مدل مربوطه Model
1	دون کاربرد اسید Don't Use Acid	هدايت EC	معکوس Inverse	0.847	$Y = \frac{0.086}{X} - 0.048$		
1	دون کاربرد اسید Don't Use Acid	درصد سدیم Tardali	معکوس Inverse	0.832	$Y = \frac{0.095}{X} - 0.030$		
2	دون کاربرد اسید Don't Use Acid	هدايت EC	معکوس Inverse	0.800	$Y = \frac{0.059}{X} + 0.036$		
2	دون کاربرد اسید Don't Use Acid	درصد سدیم Tardali	درجه سوم Cubic	0.936	$Y = -0.079x^3 + 0.590X^2 + -1.314X + 0.937$		
1	نمایی Exponentia l	هدايت EC	گشتیک Logistic	0.758	$Y = 0.487e^{-3.218X}$		
2	دون کاربرد اسید Don't Use Acid	هدايت EC	رشد Growth	0.758	$Y = e^{-3.218X - 0.720}$		
3	با کاربرد اسید Used Acid	کتریکی EC	مرکب Compound	0.757	$Y = 1/\{1/3.788 + (1.888 \times 26.718^X)\}$		
	با کاربرد اسید Used Acid	کتریکی EC	معکوس Inverse	0.756	$Y = 0.487 \times 0.040^X$		
	با کاربرد اسید Used Acid	درصد سدیم Tardali	درجه سوم Cubic	0.822	$Y = -0.090x^3 + 0.770X^2 - 1.850X + 1.302$		

## نتیجه‌گیری

برای شستشوی املاح لازم است عمق مورد اصلاح را تعیین و به همان مقدار آب به خاک اضافه کنیم. زیرا در غیر این صورت اگر کمتر از عمق مورد اصلاح آبیاری گردد، عمل شستشو به طور کامل انجام نمی‌شود و مشکل شوری را به وجود خواهد آمد. اگر بیشتر از عمق مورد اصلاح استفاده شود باعث افزایش هزینه، بدون کاهش چشمگیر املاح می‌گردد. با کاربرد ۱۰۰ سانتی‌متر آب کاربردی به منظور شستشوی املاح، شستشوی سدیم نیز موازی با آن صورت می‌گیرد و نیاز به اضافه کردن مواد اصلاح کننده نیست. در آزمون صورت گرفته در منطقه مورد مطالعه گرچه مدل معکوس در اغلب موارد دارای بیشترین همبستگی بوده و ضرایب آن محاسبه

شده و نیز نمودار مربوطه رسم گردیده، ولی پیشنهاد می‌شود به دلیل پویا بودن خصوصیات شیمیایی خاک در زمان‌ها، مکان‌ها و اقلیم‌های مختلف با بافت‌های متفاوت این آزمون‌ها در سایر نقاط جهت پژوهه‌های اجرایی انجام و نمودارهای مربوط به آن منطقه رسم گردند و تصمیم‌گیری‌ها با استفاده از ضرایب و مدل‌های مربوط به آن منطقه باشد.

## منابع

- بای‌بوردی، م و کوهستان، ا. ۱۳۶۰. خاک، تشکیل و طبقه‌بندی. دانشگاه تهران.
- پذیرا، ا. ۱۳۶۷. روش عملی آبشویی متابوب خاک‌های رسوبی شور و قلیا منطقه شاورور- استان خوزستان. مؤسسه تحقیقات خاک و آب. نشریه ۲. سال چهارم.
- پذیرا، ا. ۱۳۶۹. گزارش مطالعات اصلاح و بهسازی خاک و اراضی با تأکید بر موارد فیزیکوشیمیایی خاک‌های شور و قلیا دشت هندیجان- استان خوزستان. تهران. کمیته امور آب وزارت جهاد سازندگی.
- پذیرا، ا. ۱۳۸۰. معضل گرایش کیفیت منابع تولید (خاک و آب) به شوری و سدیمی شدن و آثار آن در کشاورزی. کمیته امور آب وزارت جهاد سازندگی.
- حیدری، ن. ۱۳۷۳. ارائه و کاربرد مدل‌ها و روابط نظری آبشویی املاح و توازن نمک در ارتباط با اصلاح و بهسازی خاک‌های شور و سدیمی. مؤسسه تحقیقات مهندسی زراعی. گزارش پژوهشی. نشریه شماره ۱۶.
- درویش، م. ۱۳۸۴. نگاهی اجمالی به بخش تحقیقات بیابان. گزارش پژوهشی نشریه شماره ۲۸.
- محمدی، ج. ۱۳۷۰. مقایسه دو روش آبشویی از خاک‌های شور و قلیا واقع در منطقه رودشت اصفهان. رشته کشاورزی. پایان‌نامه کارشناسی ارشد. دانشگاه صنعتی اصفهان.

**DREGNE, H.E. 1976.** Developments in soil science, No. 6. Soils of arid regions.

Elsvier scientific publishing company. Amesterdam. 237 P.

**GHASSEMI, F., JAKEMAN, A. and NIX, H. 1991.** Human induced salinization and the use of quantitative methods. Enviroment – International. 17(6): 581 – 594.